

· 研究简报 ·

# 新型含 2(1H)-喹啉酮的甲氧基丙烯酸酯类化合物的合成及抑菌活性

田养光, 陈 岚, 张 琨, 宋成荣, 高 洁, 周文明\*

(西北农林科技大学 理学院, 陕西 杨凌 712100)

**摘要:**以(*E*)-2-[2'-(溴甲基)苯基]-3-甲氧基丙烯酸甲酯和2(1H)-喹啉酮类化合物为原料,通过醚化等反应,合成了11个新型含2(1H)-喹啉酮结构的甲氧基丙烯酸酯类化合物,其结构经红外、电喷雾串联质谱(ESI-MS)和核磁共振氢谱确证。初步生物活性测试结果表明:在100 mg/L质量浓度下,部分目标化合物对烟草赤星病菌 *Alternaria alternata* 等6种病原菌具有一定的抑菌活性,其中**5a**对水稻稻瘟病菌 *Pyricularia grisea* 的抑菌率达100%。

**关键词:**喹啉酮;甲氧基丙烯酸酯;合成;抑菌活性

**DOI:**10.3969/j.issn.1008-7303.2011.06.15

中图分类号:O626.322;O623.6 文献标志码:A 文章编号:1008-7303(2011)06-0641-04

## Synthesis and antifungal activity of novel strobilurin compounds containing 2(1H)-quinolinone

TIAN Yang-guang, CHEN Lan, ZHANG Kun, SONG Cheng-rong,  
GAO Jie, ZHOU Wen-ming\*

(College of Science, Northwest A & F University, Yangling 712100, Shaanxi Province, China)

**Abstract:** Eleven novel strobilurin compounds were synthesized from (*E*)-methyl 2-[2'-(bromo-methyl)phenyl]-3-methoxyacrylate and 2(1H)-quinolinone as materials via etherification, etc. The structures of all compounds were confirmed by IR, ESI-MS, <sup>1</sup>H NMR. Antifungal activity test showed that the compound **5a**, **5d** and **5e** exhibit certain inhibiting effect against all the tested strains at the concentration of 100 mg/L, and **5a** showed 100% inhibition rate against *Pyricularia grisea*.

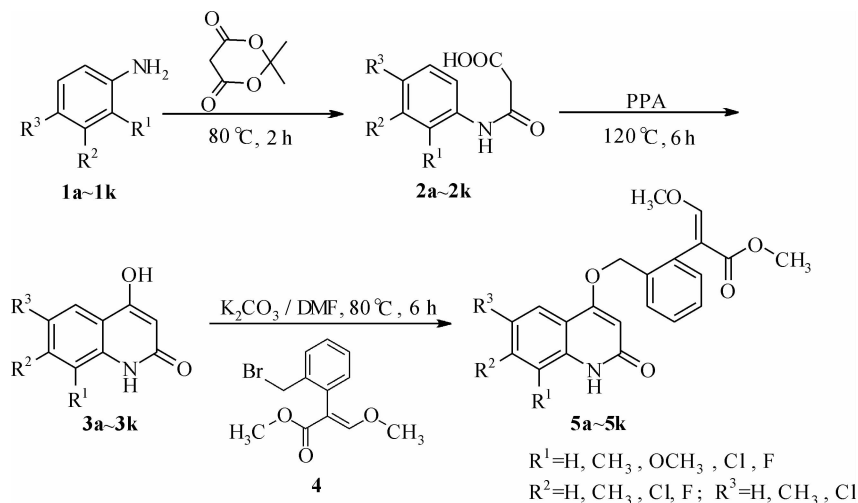
**Key words:** quinolinone; strobilurin; synthesis; antifungal activity

甲氧基丙烯酸酯类杀菌剂(strobilurin)由于具有独特的作用机制、良好的选择性和环境相容性而引起广泛关注,其代表性品种有嘧菌酯和醚菌酯等<sup>[1-2]</sup>。含有2(1H)-喹啉酮结构的化合物作为医药具有抗血小板聚集、抗精神失常、抗肿瘤等生物活性<sup>[3]</sup>,其在农药方面的研究报道相对较少<sup>[4]</sup>。本研

究将2(1H)-喹啉酮结构引入到甲氧基丙烯酸酯类化合物中,通过改变喹啉酮苯环上的取代基,设计并合成了11个未见文献报道的标题化合物(合成路线见**Scheme 1**),其结构经红外(IR)、电喷雾串联质谱(ESI-MS)和核磁共振氢谱(<sup>1</sup>H NMR)确认,并对目标化合物的抑菌活性进行了初步研究。

收稿日期:2011-08-08;修回日期:2011-10-12.

作者简介:田养光(1984-),男,陕西长安人,硕士,E-mail:tygg198411@163.com;\*通讯作者(Author for correspondence):周文明(1966-),男,湖南桑植人,白族,教授,主要从事有机合成与天然产物化学研究,E-mail:zhouwenming11@263.net



Scheme 1

## 1 实验部分

### 1.1 仪器与试剂

XT-4 型显微熔点测定仪(温度计未校正)(北京泰克仪器有限公司); Nicolet Avatar 330 FT-IR 型红外光谱仪(美国 Nicolet 公司); Bruker Avance DPX500 核磁共振仪(以 TMS 为内标、 $\text{CDCl}_3$  为溶剂,瑞士 Bruker BioSpin 公司); Finnigan Trace 型质谱仪(美国 Thermo Finnigan 公司)。

噻菌灵(triabendazole)和啞菌酯(azoxystrobin)为原药,北京颖泰嘉和科技有限公司生产,纯度为 98.5%;试剂均为市售分析纯(AR)。

### 1.2 化合物的合成

**1.2.1 中间体 3 的合成通法** 参考文献[5-6]方法。以 3a 的合成为例:向 100 mL 两口瓶中依次加入苯胺(0.93 g, 10 mmol)和丙二酯环亚异丙酯(1.44 g, 10 mmol), 80 °C 下反应 2 h, 得到中间体 2, 不经纯化, 直接加入 20 g 多聚磷酸(PPA), 升温至 120 °C 反应 6 h。冷却, 加水充分搅拌后抽滤, 经乙醇-水重结晶得淡黄色粉末 0.94 g, 产率 58.3%, m. p. > 300 °C (文献值<sup>[5]</sup> > 300 °C)。同法合成 3b ~ 3k。

**1.2.2 中间体 4 的合成** 以邻甲基苯乙酸为原料, 参考文献[7-8]方法合成。其中(*E*)-2-[2'-(溴甲基)苯基]-3-甲氧基丙烯酸甲酯为白色晶体, 总产率 58.2%, m. p. 94 ~ 96 °C (文献值<sup>[7]</sup> 94 ~ 96 °C)。

**1.2.3 目标化合物 5 的合成** 参考文献[9-11]方法。以 5a 的合成为例:向 100 mL 三口瓶中依次加入 3a(0.48 g, 3 mmol)和 20 mL *N,N*-二甲基甲酰胺(DMF), 升温至 80 °C 搅拌 10 min 后加入无水碳

酸钾(0.83 g, 6 mmol)和化合物 4(0.85 g, 3 mmol), 反应 6 h。TLC( $V_{\text{石油醚}}:V_{\text{乙酸乙酯}} = 1:3$ )监测至反应完毕。将反应液倒入 100 mL 冰水中, 乙酸乙酯(30 mL × 3)萃取, 有机相依次用 50 mL 5% 的氢氧化钠溶液和饱和食盐水洗涤, 无水硫酸钠干燥, 减压脱溶, 硅胶柱层析(洗脱剂  $V_{\text{石油醚}}:V_{\text{乙酸乙酯}} = 1:1$ )纯化得白色晶体 0.85 g, 产率 78.2%, m. p. 204 ~ 206 °C。同法合成其他目标化合物 5b ~ 5k。

**1.2.4 抑菌活性测试** 以噻菌灵和啞菌酯为阳性对照, 采用生长速率法<sup>[12]</sup>测定目标化合物对 6 种供试菌种的抑菌活性。将 1 mg/mL 的待测样品与 9 mL 未凝固的 PDA 培养基混合均匀(含对照和化合物的质量浓度均为 100 mg/L), 接种, 培养 72 h 后用十字交叉法测量菌落直径, 计算菌丝生长抑制率。

菌落扩展直径/cm =

菌落直径平均值 - 0.4 (菌饼直径)

菌丝生长抑制率/% =

$$\frac{\text{对照菌落扩展直径} - \text{处理菌落扩展直径}}{\text{对照菌落扩展直径}} \times 100$$

## 2 结果及讨论

### 2.1 化合物的结构表征

化合物 5a ~ 5k 的理化和电喷雾串联质谱(ESI-MS)数据见表 1, 红外光谱和核磁共振氢谱数据见表 2。在  $^1\text{H NMR}$  中, 化学位移( $\delta$ )在 3.7 左右的单峰是  $\text{COOCH}_3$  上的 3 个氢;  $\delta$  在 3.8 左右的单峰是  $\text{CHOCH}_3$  上的 3 个氢;  $\delta$  在 5.1 左右的单峰是苯环上的 2 个亚甲基氢;  $\delta$  在 6.0 左右的单峰是喹啉酮双键碳上的 1 个氢;  $\delta$  在 6.9 ~ 7.6 左右的多重峰是 2 个苯环上的氢;  $\delta$  在 7.8 左右的单峰则是

表 1 化合物 5a ~ 5k 的理化和 ESI-MS 数据

Table 1 Physicochemical and ESI-MS data of compounds 5a – 5k

| 化合物<br>Compd. | R <sup>1</sup>   | R <sup>2</sup>  | R <sup>3</sup>  | 物态<br>State         | 熔点<br>m. p. /°C | 产率<br>Yield/% | ESI-MS, <i>m/z</i><br>( <i>M</i> + 1) |
|---------------|------------------|-----------------|-----------------|---------------------|-----------------|---------------|---------------------------------------|
| 5a            | H                | H               | H               | 白色晶体 White crystal  | 204 ~ 206       | 78            | 366. 17                               |
| 5b            | CH <sub>3</sub>  | H               | H               | 白色晶体 White crystal  | 206 ~ 208       | 46            | 380. 45                               |
| 5c            | H                | CH <sub>3</sub> | H               | 白色晶体 White crystal  | 194 ~ 196       | 44            | 380. 45                               |
| 5d            | H                | H               | CH <sub>3</sub> | 白色晶体 White crystal  | 200 ~ 202       | 41            | 380. 45                               |
| 5e            | OCH <sub>3</sub> | H               | H               | 黄色晶体 Yellow crystal | 162 ~ 164       | 43            | 396. 46                               |
| 5f            | Cl               | H               | H               | 黄色晶体 Yellow crystal | 216 ~ 218       | 47            | 400. 37                               |
| 5g            | H                | Cl              | H               | 白色晶体 White crystal  | 250 ~ 252       | 41            | 400. 37                               |
| 5h            | H                | H               | Cl              | 白色晶体 White crystal  | 228 ~ 230       | 53            | 400. 37                               |
| 5i            | CH <sub>3</sub>  | Cl              | H               | 白色晶体 White crystal  | 246 ~ 248       | 42            | 414. 37                               |
| 5j            | CH <sub>3</sub>  | F               | H               | 白色晶体 White crystal  | 256 ~ 258       | 37            | 398. 05                               |
| 5k            | F                | H               | CH <sub>3</sub> | 白色晶体 White crystal  | 214 ~ 216       | 56            | 398. 05                               |

表 2 化合物 5a ~ 5k 的 IR 和 <sup>1</sup>H NMR 数据Table 2 IR and <sup>1</sup>H NMR data of compounds 5a – 5k

| 化合物 Compd. | IR, $\nu/\text{cm}^{-1}$                 | <sup>1</sup> H NMR(CDCl <sub>3</sub> /TMS), $\delta$  |
|------------|--|---|
| 5a         | 3 725, 1 705, 1 659, 1 622, 1 260, 1 130 | 3. 68 (s, 3H, COOCH <sub>3</sub> ), 3. 80 (s, 3H, CHOCH <sub>3</sub> ), 5. 10 (s, 2H, C <sub>6</sub> H <sub>4</sub> CH <sub>2</sub> O), 6. 05 (s, 1H, -C = CHCO -), 7. 16 ~ 7. 61 (m, 8H, Ar - H), 7. 93 (s, 1H, CHOCH <sub>3</sub> ), 12. 15 (s, 1H, NH)                                       |
| 5b         | 3 729, 1 702, 1 655, 1 265, 1 230, 1 187 | 2. 45 (s, 3H, Ar - CH <sub>3</sub> ), 3. 67 (s, 3H, COOCH <sub>3</sub> ), 3. 81 (s, 3H, CHOCH <sub>3</sub> ), 5. 08 (s, 2H, C <sub>6</sub> H <sub>4</sub> CH <sub>2</sub> O), 5. 98 (s, 1H, -C = CHCO -), 7. 07 ~ 7. 58 (m, 7H, Ar - H), 7. 82 (s, 1H, CHOCH <sub>3</sub> ), 9. 04 (s, 1H, NH)  |
| 5c         | 3 728, 1 711, 1 652, 1 434, 1 250, 1 130 | 2. 43 (s, 3H, Ar - CH <sub>3</sub> ), 3. 67 (s, 3H, COOCH <sub>3</sub> ), 3. 81 (s, 3H, CHOCH <sub>3</sub> ), 5. 08 (s, 2H, C <sub>6</sub> H <sub>4</sub> CH <sub>2</sub> O), 5. 99 (s, 1H, -C = CHCO -), 6. 93 ~ 7. 61 (m, 7H, Ar - H), 7. 81 (s, 1H, CHOCH <sub>3</sub> ), 11. 90 (s, 1H, NH) |
| 5d         | 3 721, 1 698, 1 647, 1 540, 1 263, 1 135 | 2. 40 (s, 3H, Ar - CH <sub>3</sub> ), 3. 67 (s, 3H, COOCH <sub>3</sub> ), 3. 81 (s, 3H, CHOCH <sub>3</sub> ), 5. 09 (s, 2H, C <sub>6</sub> H <sub>4</sub> CH <sub>2</sub> O), 6. 03 (s, 1H, -C = CHCO -), 7. 21 ~ 7. 61 (m, 7H, Ar - H), 7. 72 (s, 1H, CHOCH <sub>3</sub> ), 11. 71 (s, 1H, NH) |
| 5e         | 3 729, 1 700, 1 648, 1 566, 1 260, 1 131 | 3. 67 (s, 3H, COOCH <sub>3</sub> ), 3. 82 (s, 3H, CHOCH <sub>3</sub> ), 3. 96 (s, 3H, Ar - OCH <sub>3</sub> ), 5. 07 (s, 2H, C <sub>6</sub> H <sub>4</sub> CH <sub>2</sub> O), 5. 98 (s, 1H, -C = CHCO -), 6. 97 ~ 7. 52 (m, 7H, Ar - H), 7. 57 (s, 1H, CHOCH <sub>3</sub> ), 8. 87 (s, 1H, NH) |
| 5f         | 3 730, 1 711, 1 654, 1 431, 1 360, 1 222 | 3. 67 (s, 3H, COOCH <sub>3</sub> ), 3. 82 (s, 3H, CHOCH <sub>3</sub> ), 5. 08 (s, 2H, C <sub>6</sub> H <sub>4</sub> CH <sub>2</sub> O), 5. 99 (s, 1H, -C = CHCO -), 7. 10 ~ 7. 58 (m, 7H, Ar - H), 7. 86 (s, 1H, CHOCH <sub>3</sub> ), 8. 77 (s, 1H, NH)  |
| 5g         | 3 727, 1 707, 1 657, 1 421, 1 228, 1 136 | 3. 68 (s, 3H, COOCH <sub>3</sub> ), 3. 83 (s, 3H, CHOCH <sub>3</sub> ), 5. 09 (s, 2H, C <sub>6</sub> H <sub>4</sub> CH <sub>2</sub> O), 6. 00 (s, 1H, -C = CHCO -), 7. 12 ~ 7. 59 (m, 7H, Ar - H), 7. 85 (s, 1H, CHOCH <sub>3</sub> ), 11. 93 (s, 1H, NH)                                       |
| 5h         | 3 725, 1 700, 1 663, 1 621, 1 107, 997   | 3. 70 (s, 3H, COOCH <sub>3</sub> ), 3. 83 (s, 3H, CHOCH <sub>3</sub> ), 5. 09 (s, 2H, C <sub>6</sub> H <sub>4</sub> CH <sub>2</sub> O), 6. 06 (s, 1H, -C = CHCO -), 7. 23 ~ 7. 58 (m, 7H, Ar - H), 7. 86 (s, 1H, CHOCH <sub>3</sub> ), 12. 27 (s, 1H, NH)                                       |
| 5i         | 3 723, 1 702, 1 655, 1 621, 1 134, 1 053 | 2. 55 (s, 3H, Ar - CH <sub>3</sub> ), 3. 70 (s, 3H, COOCH <sub>3</sub> ), 3. 85 (s, 3H, CHOCH <sub>3</sub> ), 5. 10 (s, 2H, C <sub>6</sub> H <sub>4</sub> CH <sub>2</sub> O), 5. 99 (s, 1H, -C = CHCO -), 7. 21 ~ 7. 61 (m, 6H, Ar - H), 7. 76 (s, 1H, CHOCH <sub>3</sub> ), 9. 26 (s, 1H, NH)  |
| 5j         | 3 727, 1 701, 1 661, 1 434, 1 135, 1 001 | 2. 31 (s, 3H, Ar - CH <sub>3</sub> ), 3. 67 (s, 3H, COOCH <sub>3</sub> ), 3. 83 (s, 3H, CHOCH <sub>3</sub> ), 5. 08 (s, 2H, C <sub>6</sub> H <sub>4</sub> CH <sub>2</sub> O), 5. 99 (s, 1H, -C = CHCO -), 7. 00 ~ 7. 58 (m, 6H, Ar - H), 7. 73 (s, 1H, CHOCH <sub>3</sub> ), 11. 83 (s, 1H, NH) |
| 5k         | 3 728, 1 706, 1 657, 1 260, 1 107, 1 050 | 2. 39 (s, 3H, Ar - CH <sub>3</sub> ), 3. 67 (s, 3H, COOCH <sub>3</sub> ), 3. 83 (s, 3H, CHOCH <sub>3</sub> ), 5. 07 (s, 2H, C <sub>6</sub> H <sub>4</sub> CH <sub>2</sub> O), 5. 98 (s, 1H, -C = CHCO -), 7. 09 ~ 7. 58 (m, 6H, Ar - H), 7. 49 (s, 1H, CHOCH <sub>3</sub> ), 9. 21 (s, 1H, NH)  |

CHOCH<sub>3</sub> 上的 1 个氢;当喹啉酮的苯环上有 1 个甲基时,则  $\delta$  在 2.5 左右有 1 个单峰。由于喹啉酮苯环上取代基位置的不同,对 N-H 键上氢的  $\delta$  影响比较大, $\delta$  出现在了 8.7 ~ 12.1 之间。

所有波谱数据与目标化合物的结构相吻合。

## 2.2 抑菌活性

由表 3 可以看出,在质量浓度为 100 mg/L 时,化合物 **5a**、**5d** 和 **5e** 对 6 种供试病原菌均有一定的抑菌活性,其中 **5a** 对稻瘟病菌的抑制率达 100%;此外,该类化合物对烟草赤星病菌的抑制率大多高

表 3 化合物在 100 mg/L 下对 6 种植物病原真菌菌丝生长的抑制作用(抑制率%,72 h)

Table 3 Inhibition of compounds to mycelium growth of six tested fungi under 100 mg/L  
(Inhibition rate/% ,72 h)

| 化合物<br>Compd.     | 烟草赤星病菌<br><i>Alternaria</i><br><i>Alternaria</i> | 棉花枯萎病菌<br><i>F. oxysporum</i><br><i>vasinfectum</i> | 水稻稻瘟病菌<br><i>Pyricularia</i><br><i>grisea</i> | 玉米弯孢病菌<br><i>Curvularia</i><br><i>lunata</i> | 番茄早疫病菌<br><i>Alternaria</i><br><i>solani</i> | 苹果腐烂病菌<br><i>Valsa</i><br><i>mali</i> |
|-------------------|--|---|---|--|--|---------------------------------------|
| <b>5a</b>         | 66.8   | 25.7  | 100   | 28.0   | 2.0  | 47.1                                  |
| <b>5b</b>         | 70.2   | 10.9  | 1.3   | 11.3   | 44.8   | -3.3                                  |
| <b>5c</b>         | 67.2   | 35.6  | 15.3  | 6.6  | 8.1  | 4.9                                   |
| <b>5d</b>         | 57.4   | 37.1  | 48.7  | 37.7   | 24.2   | 49.2                                  |
| <b>5e</b>         | 63.8   | 30.7  | 66.7  | 49.4   | 62.5   | 40.9                                  |
| <b>5f</b>         | 51.5   | 29.7  | 15.3  | 24.1   | 44.8   | 5.8                                   |
| <b>5g</b>         | 12.7   | 11.9  | 33.3  | 37.7   | 2.0  | 7.0                                   |
| <b>5h</b>         | 14.9   | 24.2  | 42.1  | 2.7  | 8.8  | 8.3                                   |
| <b>5i</b>         | 58.3   | 14.3  | 28.5  | 9.3  | 4.0  | 7.0                                   |
| <b>5j</b>         | 23.4   | 16.3  | 60.2  | -16.7  | 46.8   | 5.8                                   |
| <b>5k</b>         | 68.1   | 33.2  | -8.6  | 2.7  | 22.1   | 9.1                                   |
| 噻菌灵 triabendazole | 95.7   | 100   | 100   | 84.7   | 100  | 100                                   |
| 啞菌酯 azoxystrobin  | 96.6   | 95.1  | 100   | 84.4   | 96.5   | 68.2                                  |

于对其他供试病原菌。

## 参考文献:

- [1] ZHANG Yi-bin(张一宾),ZHANG Yi(张悛). New Progress of World Pesticide(世界农药新进展)[M]. Beijing(北京): Chemical Industry Press(化学工业出版社),2006:63-64.
- [2] LIU Chang-ling(刘长令). World Pesticide Manual(Fungicide)世界农药大全(杀菌剂卷)[M]. Beijing(北京): Chemical Industry Press(化学工业出版社),2006:117-149.
- [3] GE Hai-xia(葛海霞),WANG Li-chen(王礼琛). 2-(1H)-喹啉酮类化合物的药理活性及构效关系[J]. *Prog Pharm Sci*(药学进展),2005,29(7):309-316.
- [4] GAO Jie(高洁),ZHANG Jian(张剑),CHEN Lan(陈岚),*et al.* 3-取代苯基-4-酰氧基-2(1H)-喹啉酮的合成及抑菌活性[J]. *Chin J Pestic Sci*(农药学学报),2011,13(5):459-463.
- [5] GAO W T,HOU W D,ZHENG M R,*et al.* Clean and convenient one-pot synthesis of 4-hydroxycoumarin and 4-hydroxy-2-quinolinone derivatives[J]. *Syn Commun*,2010,40(5):732-738.
- [6] GAO Wen-tao(高文涛),ZHENG Mei-ru(郑美茹),HOU Wen-duan(侯文端). 米氏酸在杂环化合物合成中的应用研究进展[J]. *Chinese J Org Chem*(有机化学),2010,30(7):958-967.
- [7] YU Kang-ping(于康平),LI Ze-fang(李泽方),ZHAO Jin-peng(赵金鹏),*et al.* 杀菌剂中间体(E)-2-(2'-溴甲基)苯基-3-甲氧基丙烯酸甲酯的制备方法:CN 101381305A[P]. 2009-03-11.
- [8] ZHANG Rong-hua(张荣华),LI Qian(李倩),ZHU Zhi-liang(朱志良). 防菌酯合成工艺[J]. *Agrochemicals*(农药),2007,46(1):29-30.
- [9] LI Miao(李淼),ZHANG Jin-bo(张金波),YANG Ji-chun(杨吉春),*et al.* 新型含吡啶环的N-甲氧基氨基甲酸酯类化合物的设计、合成及生物活性[J]. *Chem J Chinese Univ*(高等化学学报),2009,30(7):1348-1352.
- [10] LI Yan(李焰),ZHOU Ye-bing(周叶兵),LIU Jie(刘杰),*et al.* 新型杀菌剂啞菌酯的合成研究[J]. *J Hubei Univ:Nat Sci*(湖北大学学报:自然科学版),2005,27(1):14-16.
- [11] LI Miao(李淼),LIU Chang-ling(刘长令),ZHANG Ming-xing(张明星),*et al.* 丁香菌酯(SYP-3375)的设计、合成及杀菌活性[J]. *Chin J Pestic Sci*(农药学学报),2010,12(4):453-457.
- [12] WU Wen-jun(吴文君). Experimental Techniques of Plant Chemical Protection Introduction Discipline(植物化学保护实验技术导论)[M]. Xi'an(西安): Shaanxi Science and Technology Press(陕西科学与技术出版社),1988:123-127.

(责任编辑:金淑惠)